



БИООРГАНИЧЕСКАЯ ХИМИЯ

том 9 * № 3 * 1983

УДК 547.962.02

ПЕРВИЧНАЯ СТРУКТУРА ФАКТОРА ЭЛОНГАЦИИ G ИЗ *ESCHERICHIA COLI*

VI. СТРУКТУРА ПЕПТИДОВ БРОМЦИАНОВОГО РАСПЩЕПЛЕНИЯ МОЛЕКУЛЫ G-ФАКТОРА

**Алахов Ю. Б., Бундуле М. А., Бундулис Ю. П.,
Винокуров Л. М., Козлов В. П., Мотуз Л. П.**

Институт белка Академии наук СССР, г. Пущино Московской обл.

Исследованы пептиды, полученные в результате расщепления G-фактора бромцианом. Выделены все 12 пептидов, охватывающих структуру фрагмента T_4 . Для установления их аминокислотной последовательности исследовались продукты, полученные после расщепления бромциановых пептидов трипсином, химотрипсином, термолизином, стафилококковой глутаминовой протеиназой и BNPS-скатолом. Установлена полная первичная структура из 12 пептидов бромцианового расщепления белка.

Избранная нами стратегия определения первичной структуры фактора элонгации G, включающая в себя исследование фрагментов ограниченного триптического гидролиза [2, 3], потребовала нахождения пептидов, объединяющих эти фрагменты в одну полипептидную цепь. Из данных аминокислотного анализа и определения молекулярных масс фрагментов ограниченного трипсинолиза следует, что в условиях протеинолиза не происходит отщепления сколько-нибудь значительных участков полипептидной цепи, не входящих в состав этих фрагментов [2]. Для подтверждения этого предположения и выяснения структуры самого крупного фрагмента полипептидной цепи G-фактора фрагмента T_4 [2] с M_r 41 000 мы провели расщепление белка, модифицированного I-[^{14}C]CH₂CONH₂, бромцианом. В результате проделанной работы удалось выделить все 23 пептида бромцианового расщепления G-фактора, в том числе 12 пептидов, охватывающих структуру фрагмента T_4 .

Настоящая работа посвящена исследованию первичной структуры пептидов бромцианового расщепления G-фактора, входящих в состав фрагмента T_4 , а также структуры C-концевого пептида CBG-23 (табл. 1). Исследование аминокислотных последовательностей остальных пептидов бромцианового расщепления G-фактора опубликовано в предыдущих сообщениях [4, 5, 1].

Для выделения бромциановых пептидов смесь, полученная после расщепления белка, была модифицирована малеиновым ангидридом и на первом этапе разделена на колонке с сефадексом G-25 (рис. 1). Объединенные фракции I, II и III разделялись далее на колонках с QAE-сефадексом A-25 (рис. 2–4). В результате были выделены в чистом виде следующие пептиды: CBG-1*, CBG-2*, CBG-5*, CBG-6, CBG-7, CBG-8, CBG-14, CBG-17, CBG-20*, CBG-22* и CBG-23. Для выделения в чистом виде остальных пептидов негомогенные фракции, полученные в результате разделения на колонках с QAE-сефадексом A-25, после предварительного удаления маленильной защитной группы были подвергнуты рехроматографии на колонках с QAE-сефадексом A-25 или SP-сефадексом C-25. Так, после рехроматографии фракции K-9 (рис. 3) на колонке с QAE-сефадексом A-25 в чистом виде были выделены пептиды CBG-3.

Сообщение V см. [1].

* Пептиды в данной работе не исследовались, так как они не входят в состав фрагмента T_4 .

Таблица 1

Исследование структуры пептидов бромцианового расщепления G-фактора *

Пептид	Метод выделения	Агенты расщепления полипептидной цепи	Методы разделения продуктов гидролиза	Вариант метода Эдмана **
CBG-6 ***	1. ГФ, G-25 2. ИХ, QAE-A25	1. Трипсин 2. BNPS-скатол	1. МПК 2. ГФ, G-400	
CBG-7	1. ГФ, G-25 2. ИХ, QAE-A25			
CBG-8	1. ГФ, G-25 2. ИХ, QAE-A25	1. Трипсин 2. Глутаминовая протеиназа	1. ГФ, G-25 2. МПК 3. ТС	1. Автоматический 2. Дансильный
CBG-9	1. ГФ, G-25 2. ИХ, QAE-A25 3. ИХ, QAE-A25	1. Глутаминовая протеиназа 2. BNPS-скатол	1. МПК 2. ГФ, G-25	1. Автоматический 2. Дансильный
CBG-10	1. ГФ, G-25 2. ИХ, QAE-A25 3. ИХ, QAE-A25	1. Глутаминовая протеиназа 2. BNPS-скатол	1. МПК 2. ИХ, QAE-A25	1. Автоматический 2. Дансильный
CBG-11	1. ГФ, G-25 2. ИХ, QAE-A25 3. ИХ, QAE-A25	1. Трипсин 2. Химотрипсин 3. ИХ, QAE-A25	1. ВЭИХ 2. ГФ, G-25 и G-15 3. МПК	Дансильный
CBG-12	1. ГФ, G-25 2. ИХ, QAE-A25 3. ИХ, QAE-A25	Трипсин	1. ГФ, G-25 2. МПК 3. ВЭИХ	Автоматический
CBG-13	1. ГФ, G-25 2. ИХ, QAE-A25 3. ИХ, QAE-A25	Трипсин	МПК	Дансильный
CBG-14	1. ГФ, G-25 2. ИХ, QAE-A25	1. Трипсин 2. Термолизин	1. ТС 2. ГФ, G-25	Автоматический
CBG-15	1. ГФ, G-25 2. ИХ, QAE-A25 3. ИХ, QAE-A25	Трипсин	МПК	Дансильный
CBG-16	1. ГФ, G-25 2. ИХ, QAE-A25 3. ИХ, QAE-A25	Глутаминовая протеиназа		Дансильный
CBG-17	1. ГФ, G-25 2. ИХ, QAE-A25	1. Трипсин 2. Глутаминовая протеиназа	МПК	1. Автоматический 2. Дансильный
CBG-23	1. ГФ, G-25 2. ИХ, QAE-A25	Глутаминовая протеиназа	МПК	Дансильный

* Использованы следующие сокращенные обозначения: BNPS — 3-бром-2-(o-нитрофенил)сульфенил-, ВЭИХ — высокоэффективная ионообменная хроматография, ГФ — гель-фильтрация, ИХ — ионообменная хроматография, МПК — метод пептидных карт, ТС — твердофазный секвенатор для анализа С-концевого пептида.

** Определение аминокислотной последовательности автоматическим методом Эдмана осуществлялось на исходных пептидах.

*** Исследование аминокислотной последовательности пептида CBG-6 подробно описано в работе [4].

CBG-6 и CBG-16 (рис. 5). Методы выделения остальных пептидов бромцианового расщепления G-фактора суммированы в табл. 1. Пептиды CBG-11, CBG-12 и CBG-13 были выделены в количествах, недостаточных для определения их полных аминокислотных последовательностей, поэтому в настоящей работе определена лишь их частичная структура. Для выделения этих пептидов была разработана методика с использованием

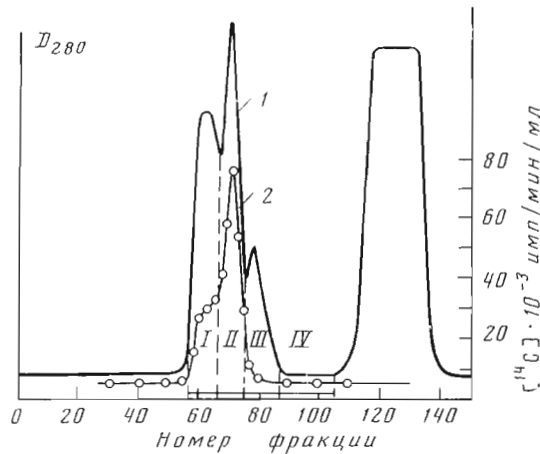


Рис. 1. Разделение смеси бромциановых пептидов G-фактора на колонке (2,5×160 см) с сефадексом G-25, уравновешенным аммиачной водой, pH 9 (скорость элюирования 18 мл/ч, объем фракций 6 мл). 1 – D_{280} , 2 – радиоактивность

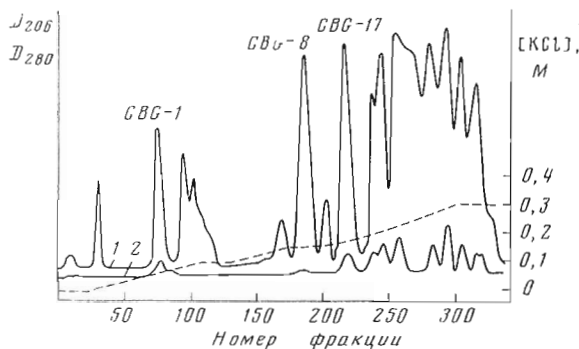


Рис. 2. Хроматография фракции I на колонке (1,6×12 см) с QAE-сефадексом A-25, уравновешенным буфером 0,02 М трикс-HCl (pH 8,1) с 6 М мочевиной, в градиенте концентрации KCl. Скорость элюирования 10 мл/ч, объем фракций 10 мл. 1 – D_{205} , 2 – D_{280}

тиол-активированной сефарозы, подробное описание которой будет опубликовано в отдельном сообщении.

Для характеристики пептидов бромцианового расщепления G-фактора были определены их N-концевые аминокислоты, а также аминокислотный состав (табл. 2). Определение аминокислотных последовательностей твердофазным автоматическим методом Эдмана на исходных пептидах дало хорошие результаты при исследовании первичной структуры цепптидов CBG-8, CBG-9, CBG-10, CBG-12, CBG-14, CBG-17 (табл. 3). Использование автоматического метода Эдмана в случае пептида CBG-8 позволило установить последовательность 25 аминокислотных остатков. Для установления строения C-концевой части пептида CBG-8 он был подвергнут триптическому гидролизу. После разделения смеси триптических пептидов на колонке с сефадексом G-25 (рис. 6) был выделен пептид CBG-8-T4, состоящий из 26 аминокислотных остатков (табл. 4) и охватывающий всю C-концевую часть пептида CBG-8. При ограниченном кислотном гидролизе CBG-8-T4 была получена смесь коротких пептидов, которая была разделена в тонком слое целлюлозы (рис. 7); их аминокислотная последовательность приведена в табл. 4. Данные по ограниченному кислотному гидролизу вместе с результатами определения аминокислотной последовательности пептидов CBG-8-T4 и CBG-8 позволили установить последовательность 35 аминокислотных остатков в пептиде CBG-8 (табл. 3). По данным аминокислотного анализа (табл. 2), пептид CBG-8

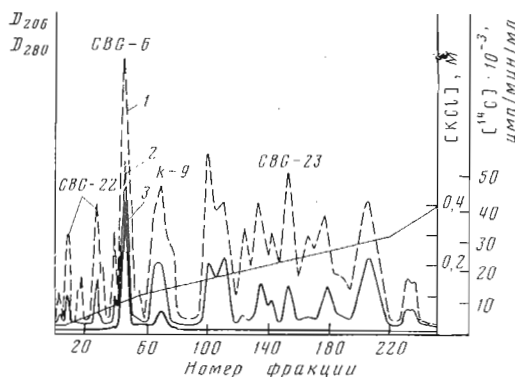


Рис. 3. Разделение фракции II на колонке (1.5×20 см) с QAE-сепадексом А-25, уравновешенным буфером 0,02 М трис-HCl (рН 8,2) с 6 М мочевиной; скорость элюирования 9 мл/ч, объем фракций 3 мл. 1 — D_{206} , 2 — D_{280} , 3 — радиоактивность

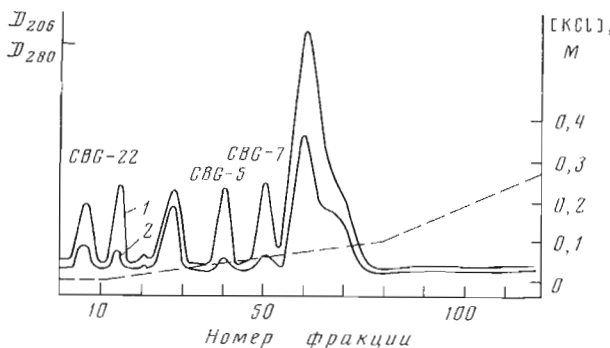


Рис. 4. Хроматография фракции III на колонке (1.0×10 см) с QAE-сепадексом А-25, уравновешенным буфером 0,02 М трис-HCl (рН 8,4) с 6 М мочевиной, в градиенте концентрации KCl. Скорость элюирования 10 мл/ч, объем фракций 10 мл. 1 — D_{206} , 2 — D_{280}

содержит 4 остатка глутаминовой кислоты. Гидролиз пептида CBG-8 глутаминовой протеиназой позволили получить пептид CBG-8-SP2 (табл. 4), объединяющий пептиды CBG-8-T4-A3 и CBG-8-T4-A4. Структура пептида CBG-8-SP2 была установлена твердофазным автоматическим методом Эдмана на смеси пептидов, полученных после гидролиза CBG-8 глутаминовой протеиназой. В результате была установлена первичная структура пептида CBG-8 (табл. 3).

N-Концевой анализ пептидов CBG-9 и CBG-10 позволил установить последовательности 22 аминокислотных остатков в каждом пептиде (табл. 3). Для подтверждения этих данных и проверки расположения некоторых аминокислот нами был проведен гидролиз пептидов CBG-9 и CBG-10 глутаминовой протеиназой. Смеси пептидов были разделены в тонком слое целлюлозы в стандартных условиях (см. подпись к рис. 7). Аминокислотные последовательности выделенных пептидов CBG-9-SP1—CBG-9-SP3 и CBG-10-SP1—CBG-10-SP6 были установлены методом Эдмана в дансильной модификации (табл. 5 и 6). При определении структуры пептидов CBG-9-SP1 (табл. 5) и CBG-10-SP3 (табл. 6) методом Эдмана не удалось идентифицировать аминокислотные остатки в пятом и первом положениях соответственно. Как оказалось при проверке на реакцию Эрлиха, оба эти пептида содержат остатки триптофана. Для подтверждения этого пептиды CBG-9 и CBG-10 были расщеплены BNPS-скатолом (3-бром-2-(*o*-нитрофенил)сульфенилскатол), из смеси были выделены пептиды CBG-9-N1, CBG-9-N2 (табл. 5) и CBG-10-N1, CBG-10-N2 (табл. 6). Исследование структуры пептидов, полученных после гидролиза пептидов CBG-9 и CBG-10 глутаминовой протеиназой и расщепления

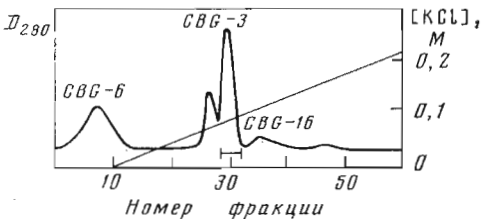


Рис. 5

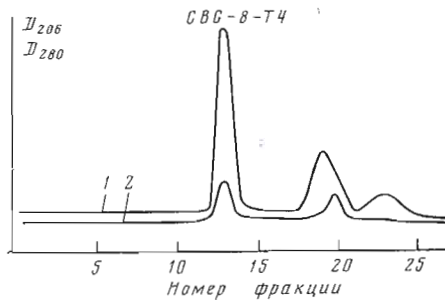


Рис. 6

Рис. 5. Рхроматография фракции K-9 (рис. 3) на колонке (1,0×10 см) с QAE-сепадексом A-25 в буфере 20 мМ трип-НСl (рН 8,3), содержащем 6 М мочевину, в градиенте 0–0,2 М KCl (по 150 мл). Скорость элюирования 10 мл/ч, объем фракций 6 мл

Рис. 6. Гель-фильтрация продуктов триптического гидролиза пептида CBG-8 на колонке (1,0×100 см) с сепадексом G-25, уравновешенным буфером 0,1 М NH_4HCO_3 , рН 8,1. Скорость элюирования 2 мл/ч, объем фракций 2 мл. 1 – D_{206} , 2 – D_{280}

BNPS-скатолом, позволило установить первичную структуру пептидов CBG-9 и CBG-10 (табл. 3).

Первичная структура пептида CBG-14 была установлена с использованием только автоматического метода Эдмана. Сначала была определена аминокислотная последовательность первых 15 аминокислотных остатков. По данным аминокислотного анализа, пептид содержит три остатка лизина. После триптического гидролиза структура C-концевой части пептида CBG-14 была установлена твердофазным автоматическим методом Эдмана без предварительного разделения смеси пептидов с использованием гомосеринлактонного метода присоединения C-концевого пептида к нерастворимой матрице. Для подтверждения полученных данных пептид CBG-14 гидролизовали термолизином, N-концевые последовательности термолитических пептидов определяли методом Эдмана (в дансильной модификации).

При выделении пептида CBG-15 была получена фракция K-11-4 (рис. 8), содержащая C-концевую часть пептида CBG-15. Этот фрагмент образовался в результате частичного расщепления пептида CBG-15 по связи -Asp¹¹-Pro¹². Поскольку установить полную аминокислотную последовательность C-концевого фрагмента пептида CBG-15 (выделенного из фракции K-11-4) не удалось, пептид CBG-15 был подвергнут триптическому гидролизу. Продукты триптического гидролиза были разделены в тонком слое целлюлозы. Аминокислотная последовательность выделенных пептидов была установлена методом Эдмана в дансильной модификации (табл. 7). Исследование структуры пептида из фракции K-11-4 позволило объединить триптические пептиды CBG-15-T2 и CBG-15-T3 и завершить работу по установлению аминокислотной последовательности пептида CBG-15.

Пептид CBG-23 является C-концевым пептидом молекулы белка, так как, по данным аминокислотного анализа, он не содержит остатка гомосерина (табл. 2). В результате исследования продуктов, полученных при гидролизе пептида CBG-23 глутаминовой протеиназой, был выделен C-концевой пептид и установлена его структура: Ala-Arg-Cly-Lys. Сравнение аминокислотной последовательности пептида CBG-23 со структурой соответствующего пептида CB-7, полученного при бромциановом расщеплении C-концевого фрагмента T₅ [5], позволило сделать вывод, что при ограниченном триптическом гидролизе G-фактора в C-концевой части молекулы белка отщепляется дипептид Gly-Lys.

Структура пептида CBG-16 была установлена методом Эдмана (в дансильной модификации).

Таким образом, в результате исследования пептидов, полученных при расщеплении G-фактора бромцианом (табл. 1), была установлена полная аминокислотная последовательность пептидов CBG-7, CBG-8, CBG-9,

Аминокислотный состав пептидов бромцианового расщепления Г-фактора, входящих в состав фрагмента $\bar{\Gamma}_4$

Аминокислота	CBG-6	CBG-7	CBG-8	CBG-9	CBG-10	CBG-11	CBG-12	CBG-13	CBG-14	CBG-15	CBG-16	CBG-17	CBG-23	$\bar{\Gamma}_4$
Cys(Gln)	0,8(1)	4,0(1)	6,4(6) 2,1(2)	2,2(2)	3,3(3)	1,0(1)	3,3(3)	2,0(2)	4,3(4)	1,9(2)	4,3(4)	1,9(2)	41,2(42)	***(4)
Asp	2,0(2)			2,2(2)	2,0(2)	1,3(1)	4,3(4)	2,4(2)	1,0(1)	2,3(2)	2,4(2)	1,0(1)	13,1(14)	
Thr	1,1(1)			2,2(2)		6,4(6)		1,0(1)	2,2(2)	0,8(1)		1,0(1)	14,3(12)	
Ser	1,0(1)			***(1)	***(1)		***(1)	***(1)	***(1)	***(1)	***(1)	***(1)	10,0(11)	
Asn	***(1)			4,3(4) 1,8(2)	2,9(3) 1,0(1)	7,3(7)	8,4(8)	4,2(4)	4,3(4)	5,3(5)	3,8(4)	7,9(8)	4,3(4)	41,0(41)
Glu	4,0(4)			4,3(4) 1,8(2)	1,0(1)			6,3(6)	1,7(2)	2,9(3)	1,0(1)	1,3(1)	1,2(1)	16,1(16)
Pro	2,1(2)			4,3(4) 2,4(2)	1,2(1)		5,3(5)	4,1(4)	3,3(3)	3,3(3)	1,2(1)	6,0(6)	1,3(1)	24,1(21)
Gly				4,2(4) 3,2(3)	4,3(4) 3,2(3)		4,4(4) 3,2(3)	9,3(9)	6,4(6)	2,4(2)	3,4(3)	3,3(3)	3,9(4)	37,0(37)
Ala	3,2(3)			5,9(6) 2,2(2)	1,2(1) 2,1(2)	1,0(1) 1,1(1)	3,4(3) 2,7(3)	9,8(10)	2,3(2)	2,2(2)	1,2(1)	7,0(7)	2,4(2)	30,5(29)
Val	5,7(6)			4,7(5)	3,2(3)	5,2(5)	5,2(5)	5,3(5)	4,7(5)	2,2(2)	2,1(2)	2,3(2)	1,4(1)	25,4(25)
Ile	1,0(1)									3,2(3)	3,3(3)	1,8(2)	2,1(1)	28,0(28)
Leu													1,1(1)	6,4(5)
Tyr	1,8(2)			0,8(1)		0,7(1)	1,1(1)	5,8(6)	0,9(1)	1,1(1)	1,6(2)	1,1(1)	0,8(1)	13,0(13)
Phe	1,0(1)			1,9(2)	1,0(1)	1,1(1)	1,1(1)	0,9(6)	0,9(1)	0,7(1)	1,4(1)	0,8(1)	5,1(5)	
His				1,0(1)		1,4(1)		0,9(1)		0,7(1)		0,9(1)	1,8(2)	
Lys	3,0(3)			2,8(3)	1,1(1)		3,8(4)	3,2(3)	3,0(3)	2,8(3)	1,2(1)	4,8(5)	4,8(5)	1,8(2)
Trp	****(1)				****(1)		1,8(2)	4,8(5)	2,8(3)	2,0(2)	1,4(1)	3,7(4)	****(3)	25,2(22)
Arg	2,0(2)	1,4(1)	1,2(1)										1,0(1)	16,0(17)
Всего остатков	33	3	41	23				85	43	22	12	49	22	344
N-концевая аминокислота		Val	Asp	Gly	Lys	Val	Glu	Leu	Glu	Gly	Gly	Lys	Glu	Glu

* Аминокислотный состав остаточных бромциановых цепей см. в работах [3, 4].

** Количественно не определялся.

*** Не определяется.

Пептиды бромцианового расщепления G-фактора, входящие в состав фрагмента T₄, и пептид CBG-23

Пептид	Аминокислотная последовательность
CBG-7	Asp-Arg-Met ↓ ↓ ↓ 1 2 3 4 5 6 7 8 9 10 11 12 13 14 15 16 17 18
CBG-8	Gly-Ala-Asn-Phe-Leu-Lys-Val-Val-Asn-Gln-Ile-Lys-Thr-Arg-Leu-Gly-Ala-Asn- ↓ 19 20 21 22 23 21 25 26 27 28 29 30 31 32 33 31 35 Pro-Val-Pro-Leu-Gln-Leu-Ala-Ile-Gly-Ala-Glu-Glu-His-Phe-Thr-Gly-Val- ↓ ↓ ↓ ↓ ↓ ↓ ↓ ↓ ↓ ↓ 36 37 38 39 40 41 Val-Asp-Leu-Val-Lys-Met
CBG-9	Lys-Ala-Ile-Asn-Trp-Asn-Asp-Ala-Asp-Gln-Gly-Val-Thr-Phe-Glu-Tyr-Glu- ↓ ↓ ↓ ↓ ↓ ↓ Asp-Ile-Pro-Ala-Asp-Met
CBG-10	Val-Glu-Leu-Ala-Asn-Glu-Trp-His-Gln-Asn-Leu-Ile-Glu-Ser-Ala-Ala-Glu-Ala- ↓ ↓ ↓ ↓ ↓ ↓ Ser-Glu-Glu-Leu-Met
CBG-11	Glu-Lys-Tyr-Leu-Gly-Gly-Glu-Glu-(Cys ₁ , Asp ₂ , Thr ₃ , Ser ₄ , Glu ₅ , Gly ₆ , Ala ₇ , ↓ ↓ ↓ ↓ ↓ ↓ Val ₈ , Ile ₉ , Leu ₁₀ , Phe ₁₁ , Lys ₁₂ , Arg ₁₃ , Gln ₁₄ , Met)
CBG-12	Leu-Asp-Ala-Val-Ile-Asp-Tyr-Leu-Pro-Ser-Pro-Val-Asp-Val-Pro-Ala-Ile- ↓ ↓ ↓ ↓ ↓ ↓ Asp-(Cys ₁ , Asp ₂ , Thr ₃ , Ser ₄ , Glu ₅ , Pro ₆ , Gly ₇ , Ala ₈ , Val ₉ , Ile ₁₀ , Leu ₁₁ , Tyr ₁₂ , Phe ₁₃ , His ₁₄ , Lys ₁₅ , Arg ₁₆ , Gln ₁₇ , Met)
CBG-13	His-Ala-Asn-Lys-Arg-Glu-Glu-(Cys ₂ , Asp ₃ , Thr ₄ , Glu ₅ , Pro ₆ , Gly ₇ , Ala ₈ , ↓ ↓ ↓ ↓ ↓ ↓ Val ₉ , Ile ₁₀ , Leu ₁₁ , Lys ₁₂ , Arg ₁₃ , Met)
CBG-14	Glu-Phe-Pro-Glu-Pro-Val-Ile-Ser-Ile-Ala-Val-Glu-Pro-Lys-Thr-Lys-Ala-Asp- ↓ ↓ ↓ ↓ ↓ ↓ Gln-Glu-Lys-Met
CBG-15	Gly-Leu-Ala-Leu-Gly-Arg-Leu-Ala-Lys-Glu-Asp-Pro-Ser-Phe-Arg-Val-Trp- ↓ ↓ ↓ ↓ ↓ ↓ Thr-Asp-Glu-Glu-Ser-Asn-Gln-Thr-Ile-Ile-Ala-Gly-Met
CBG-16	Gly-Glu-Leu-His-Leu-Asp-Ile-Ile-Val-Asp-Arg-Met ↓ ↓ ↓ ↓ ↓ ↓ ↓ ↓ ↓ ↓ ↓ ↓
CBG-17	Lys-Arg-Glu-Phe-Asn-Val-Glu-Ala-Asn-Val-Gly-Lys-Pro-Gln-(Asp ₂ , Thr ₃ , ↓ ↓ ↓ ↓ ↓ ↓ Ser ₄ , Glu ₅ , Gly ₆ , Ala ₇ , Val ₈ , Met ₉ , Ile ₁₀ , Tyr ₁₁ , His ₁₂ , Lys ₁₃ , Arg ₁₄)
CBG-23	Glu-Phe-Leu-Lys-Tyr-Asp-Glu-Ala-Pro-Ser-Asn-Val-Ala-Gln-Ala-Val-Ile-Glu- ↓ ↓ ↓ ↓ ↓ ↓ Ala-Arg-Gly-Lys

Примечание. — определение аминокислотной последовательности методом Эдмана в дан-
сильной модификации; — автоматическим методом Эдмана.

CBG-10, CBG-14, CBG-15 и CBG-16 (табл. 3), входящих в состав фрагмента T₄, а также пептида CBG-3, объединяющего триптические фрагменты T₆ и T₇, и пептида CBG-6, объединяющего фрагменты T₇ и T₅ [4]. Кроме того, была установлена частичная структура пептида CBG-17, позволившая объединить фрагменты T₄ и T₅. Исследование структуры пептида CBG-23 показало, что он является C-концевым в полипептидной цепи G-фактора. Из данных, полученных при исследовании структуры этих пептидов, следует, что фрагменты ограниченного триптического гидролиза G-фактора (T₆, T₇, T₄ и T₅) расположены непосредственно друг за другом в полипептидной цепи белка и между ними нет никаких «вставок». Только в C-концевой части белка при ограниченном трипсиполизе происходит отщепление дипептида Gly-Lys.

Экспериментальная часть

В работе использованы сефадексы G-15, G-25, G-100, QAE A-25, SP C-25 (Pharmacia, Швеция), I-[¹⁴C]CH₂CONH₂ (Amersham, Англия), катионообменная смола Chromobeads Type P (Technicon, Ирландия), ста-филококковая глутаминовая протеиназа (Miles Lab., Англия), трипсин (Worthington, США), бромциан, термолизин (Serva, ФРГ), BNPS-скатол (Pierce, США), пластинки с тонким слоем целлюлозы (Merck, ФРГ),

Таблица 4

Пептиды, полученные после гидролиза пептида CBG-8 глутаминовой протеиназой (CBG-8-SP2) и трипсином (CBG-8-T4), и также при ограниченном кислотном гидролизе CBG-8-T4 (CBG-8-T4-A)

Таблица 5

Пептиды, полученные после гидролиза пептида CBG-9 глутаминовой протеиназой (CBG-9-SP) и после расщепления BNPS-скатолом (CBG-9-N)

Пептид	Аминокислотная последовательность
CBG-9-SP1	Lys-Ala-Ile-Asn-Trp-Asn-Asp-Ala-Asp-Gln-Gly-Val-Thr-Phe-Glu
CBG-9-SP2	Asp-Ile-Pro-Ala-Asp-Met
CBG-9-SP3	Tyr-Glu-Asp-Ile-Pro-Ala-Asp-Met
CBG-9-N1	Lys-Ala-Ile-Asn-Trp
CBG-9-N2	Asn-Asp-Ala-Asp-Gln-Gly-Val-Thr-Phe-Glu-Tyr-Glu-Asp-Ile-Pro-Ala-Asp-Met

Таблица 6

Цептиды, полученные после гидролиза пептида CBG-10 глутаминовой протеиназой (CBG-10-SP) и после расщепления BNPS-скатолом (CBG-10-N).

Пептид	Аминокислотная последовательность
CBG-10-SP1	Val-Glu ↑ ↓
CBG-10-SP2	Leu-Ala-Asn-Glu ↑ ↓ ↑ ↓
CBG-10-SP3	Trp-His-Gln-Asn-Leu-Ile-Glu ↑ ↓ ↑ ↓ ↑ ↓ ↑ ↓
CBG-10-SP4	Ser-Ala-Ala-Glu ↑ ↓ ↑ ↓
CBG-10-SP5	Ala-Ser-Glu-Glu ↑ ↓ ↑ ↓
CBG-10-SP6	Leu-Met ↑ ↓
CBG-10-N1	Val-Glu-Leu-Ala-Asn-Glu-Trp ↑ ↓ ↑ ↓ ↑ ↓
CBG-10-N2	His-Gln-Asn-Leu-Ile-Glu-Ser-Ala-Ala-Glu-Ala-Ser-Glu-Glu- Leu-Met

реактивы для автоматического метода Эдмана и фенилтиогидантонны аминокислот (Beckman, США), полиамидные пластинки (BDH, Англия), β -меркаптоэтанол (Serva, ФРГ). Все остальные реактивы имели квалификацию ос. ч.

G-фактор получен по методу, описанному нами ранее [2].

Определение N- и C-концевых аминокислот проводили как описано в работе [4].

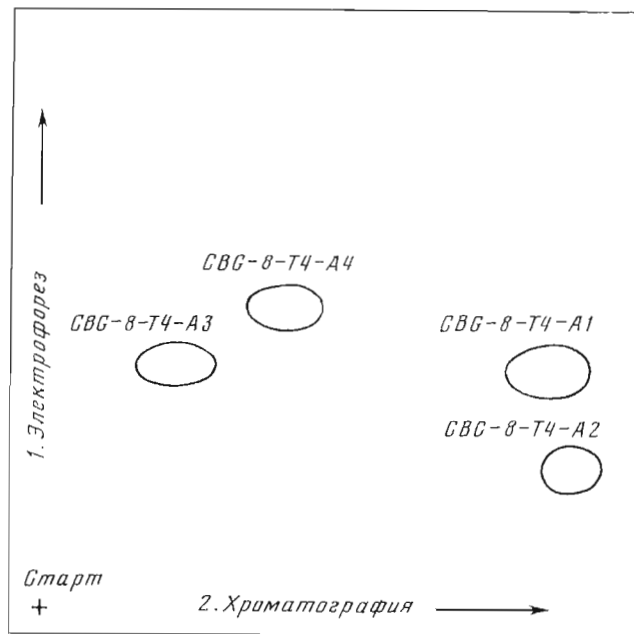


Рис. 7. Разделение пептидов, полученных при ограниченном кислотном гидролизе пептида CBG-8-T4 на пластинке (20×20 см) с тонким слоем целлюлозы. Электрофорез 800 В, 60 мин в буфере пиридин – уксусная кислота – вода ($10:100:890$), рН 3,6; хроматография в системе *n*-бутанол – пиридин – уксусная кислота – вода ($1:1:1:1$), рН 5,4

Аминокислотный анализ осуществляли на аминокислотном анализаторе D-500 (Durrum, США). Гидролиз проводили 24 и 72 ч 5,6 н. HCl в вакуумированных запаянных ампулах при $105\text{--}110^\circ\text{C}$. Образец растворяли в 20 мкл HCl. Цистеин определяли в виде карбоксиметилцистеина, количество валина и изолейцина определяли по результатам 72-часового гидролиза. Наличие остатков триптофана в пептидах устанавливали, проявляя аналитические пептидные карты реагентом Эрлиха [6].

Автоматическое определение аминокислотной последовательности проводили на твердофазном секвенаторе модели APS-240 (Rank Hilger, Англия). Ковалентное связывание пептидов с носителем осуществляли через карбоксильную группу остатка гомoserина по методу Ларсена [7] или *n*-фенилендиизоцианатным методом [8] через ϵ -аминогруппу лизина. Идентификацию отщепленных фенилтиогидантонов аминокислот проводили ТСХ на пластинках Kisegel 60F₂₅₄ (Fluka, Швейцария) и высокоэффективной жидкостной хроматографией на колонках Ultrasphere RP-18, 5 мкм (Altex, США) или Separon RP-18 5 мкм (ЧССР).

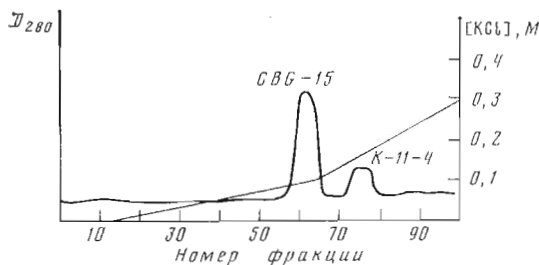


Рис. 8. Рекроматография фракции K-11 (рис. 3) на колонке ($1,0 \times 10$ см) с QAE-сефадексом А-25, уравновешенным буфером 0,02 М трис-HCl (рН 8,2) с 6 М мочевиной, в градиенте концентраций KCl. Скорость элюирования 10 мл/ч, объем фракций 5 мл

Таблица 7

Непептиды, полученные после триптического гидролиза пептида CBG-15 (CBG-15-T)

Аминокислотную последовательность пептидов устанавливали ручным вариантом метода Эдмана в модификации Грэя [9, 10] с некоторыми изменениями, описанными в работе [11].

Идентификация амидов глутаминовой и аспарагиновой аминокислот. Этилацетатные экстракты после каждого цикла деградации высушивали в токе азота, растворяли в 200 мкл 1 н. HCl и инкубировали 5 мин при 80° С. Фенилтиогидантоины аминокислот экстрагировали этилацетатом (3×200 мкл). Экстракты высушивали в токе азота и растворяли в 20 мкл этилацетата для нанесения на пластинку с силикагелем (Kieselgel 60 F₂₅₄, Merck, ФРГ) и последовательно хроматографировали в трех системах растворителей: хлороформ—этанол, 20:0,3; хлороформ—метанол, 9:1; хлороформ — уксусная кислота, 8:2.

После высушивания пластиинки фенилтиогидантоины глутамина, аспарагина, глутаминовой и аспарагиновой аминокислот обнаруживали в УФ-свете, а также после опрыскивания пластиинки 1% раствором нин-гидрина в смеси абсолютного этанола с коллидином (95 : 5) и выдерживания в течение 5 мин при 110° С [12]. Для контроля на пластиинку наносили стандарты фенилтиогидантоинов соответствующих аминокислот.

Расщепление G-фактора бромцианом. К образцу карбоксиметилированного G-фактора [2] (2 мкмоль), растворенному в 10 мл 70% муравьиной кислоты, добавляли свежевозогнанный бромциан (5:1 по весу) и оставляли в темноте при 20°C на 24 ч. Затем смесь разбавляли водой в 10 раз (до 100 мл) и лиофильно высушивали.

Малеинирование продуктов бромцианового расщепления G-фактора и удаление малеинильной защитной группы после разделения пептидов бромцианового расщепления G-фактора осуществляли методом, описанным ранее [4].

Триптичный гидролиз пептидов бромцианового расщепления G-фактора: CBG-6, CBG-8, CBG-11, CBG-12, CBG-13, CBG-14, CBG-15 и CBG-17. 100 нмоль пептида в 300–400 мкл 0,1 М NH_4HCO_3 , pH 8,1, инкубировали с трипсином (соотношение фермент–субстрат 1:50) в течение 12 ч (37°C). По окончании реакции гидролизат лиофильно высушивали.

Гидролиз глутаминовой протеиназой пептидов CBG-8, CBG-9, CBG-10, CBG-11, CBG-16, CBG-17 и CBG-23. Пептиды (100 нм) в 0,1 М NH_4HCO_3 -буфере (~ 300 мкл), pH 8,1, инкубировали в течение 12 ч с глутаминовой протеиназой при соотношении фермент–субстрат 1:50 (37°C). Затем гидролизат высушивали и разделяли методом пептидных карт на пластинках с тонким слоем целлюлозы.

Расщепление BNPS-скатолом пептидов CBG-6, CBG-9 и CBG-10 по остаткам триптофана было проведено как описано в работе [13].

Термолитический гидролиз пептида CBG-14. К раствору 100 нмоль пептида CBG-14 в 300 мкл 0,1 М NH_4HCO_3 , pH 8,1, добавляли термолизин при соотношении фермент—субстрат 1 : 50 и инкубировали при 37° С в течение 2 ч. Термолитический гидролизат разделяли методом гель-фильтрации на колонке с сефадексом G-25.

Гидролиз химотрипсином пептида CBG-11 проводили как описано в сообщении [1].

Авторы выражают благодарность руководителю работы академику Ю. А. Овчинникову за постоянную помощь и ценные замечания при обсуждении результатов.

ЛИТЕРАТУРА

1. Алахов Ю. Б., Винокуров Л. М., Довгас Н. В., Мотуз Л. П. Биоорган. химия, 1983, т. 9, № 3, с. 293–303.
2. Алахов Ю. Б., Мотуз Л. П., Стенгревиц О. А., Винокуров Л. М., Овчинников Ю. А. Биоорган. химия, 1977, т. 3, с. 1333–1345.
3. Алахов Ю. Б., Мотуз Л. П., Стенгревиц О. А., Винокуров Л. М. Биоорган. химия, 1978, т. 4, с. 1301–1313.
4. Мотуз Л. П., Бундулис Ю. П., Алахов Ю. Б. Биоорган. химия, 1979, т. 5, с. 814–827.
5. Alakhov Yu. B., Dovgas N. V., Motuz L. P., Vinokurov L. M., Ovchinnikov Yu. A. FEBS Lett. 1981, v. 126, p. 183–186.
6. Smith I. Nature, 1953, v. 171, p. 43.
7. Laursen R. A., Horn M. J., Bonner A. G. FEBS Lett., 1973, v. 36, p. 285–288.
8. Laursen R. A., Horn M. J., Bonner A. G. FEBS Lett., 1972, v. 21, p. 67–70.
9. Gray W. R., Hartley B. S. Biochem. J., 1963, v. 89, p. 379–380.
10. Bruton C. J., Hartley B. S. J. Mol. Biol., 1970, v. 52, p. 165–178.
11. Алахов Ю. Б., Довгас Н. В., Винокуров Л. М., Вельможа И. С., Овчинников Ю. А. Биоорган. химия, 1978, т. 4, с. 879–893.
12. Roseau G., Paniel P. J. Chromatogr., 1969, v. 44, p. 392–395.
13. Fontana A. In: Methods in Enzymology / Ed. Hirs C. H. W. New York – London: Acad. Press, 1972, v. XXV, p. 419–423.

Поступила в редакцию
19.VII.1982.

PRIMARY STRUCTURE OF THE ELONGATION FACTOR G FROM *ESCHERICHIA COLI*. VI. STRUCTURE OF PEPTIDES OF CYANOGEN. BROMIDE CLEAVAGE OF THE G-FACTOR MOLECULE

ALAKHOV Yu. B., BUNDULE M. A., BUNDULIS Yu. P.,
VINOKUROV L. M., KOZLOV V. P., MOTUZ L. P.

*Institute of Protein Research, Academy of Sciences
of the USSR, Pushchino*

Peptides obtained as a result of cyanogen bromide cleavage of the G-factor have been studied. All 12 peptides embracing the whole structure of fragment T₄ have been isolated. For their amino acid sequence determination, cyanogen bromide peptides have been further cleaved with trypsin, chymotrypsin, thermolysin, staphylococcal glutamic protease and BNPS-skatole. The complete primary structure of 9 from 12 cyanogen bromide peptides has been determined.